

**ALIRAN HELE SHAW MELALUI MEDAN DENGAN
GRADIEN TEMPERATUR**

TUGAS AKHIR

Oleh

AZWAR EFFENDY

04 05 22 007 2



**DEPARTEMEN TEKNIK MESIN
FAKULTAS TEKNIK UNIVERSITAS INDONESIA
GANJIL, 2007/2008**

**ALIRAN HELE SHAW MELALUI MEDAN DENGAN
GRADIEN TEMPERATUR**

TUGAS AKHIR

Oleh

AZWAR EFFENDY

04 05 22 007 2



**TUGAS AKHIR INI DIAJUKAN UNTUK MELENGKAPI
SEBAGIAN PERSYARATAN MENJADI SARJANA TEKNIK**

**DEPARTEMEN TEKNIK MESIN
FAKULTAS TEKNIK UNIVERSITAS INDONESIA
GANJIL, 2007/2008**

PERNYATAAN KEASLIAN TUGAS AKHIR

Saya menyatakan dengan sesungguhnya bahwa tugas akhir dengan judul:

ALIRAN HELE SHAW MELALUI MEDAN DENGAN GRADIEN TEMPERATUR

yang dibuat untuk melengkapi sebagian persyaratan menjadi Sarjana Teknik pada program studi Teknik Mesin Departemen Teknik Mesin Universitas Indonesia, sejauh yang saya ketahui bukan merupakan tiruan atau duplikasi dari tugas akhir yang sudah dipublikasikan dan atau pernah dipakai untuk mendapatkan gelar kesarjanaan di lingkungan Universitas Indonesia maupun di Perguruan Tinggi atau instansi manapun, kecuali bagian yang sumber informasinya dicantumkan sebagaimana mestinya.

Depok, 8 Januari 2008

(Azwar Effendy)
NPM. 04 05 22 007 2

PENGESAHAN

Tugas akhir dengan judul:

ALIRAN HELE SHAW MELALUI MEDAN DENGAN GRADIEN TEMPERATUR

dibuat untuk melengkapi sebagian persyaratan menjadi Sarjana Teknik pada program Studi Teknik Mesin Departemen Teknik Mesin Fakultas Teknik Universitas Indonesia. Tugas akhir ini telah diujikan pada sidang ujian tugas akhir pada tanggal 2 Januari 2008 dan dinyatakan memenuhi syarat/sah sebagai tugas akhir pada Departemen Teknik Mesin Fakultas Teknik Universitas Indonesia.

Depok, 8 Januari 2008

Dosen Pembimbing,

(Dr. Ir. Harinaldi, M.Eng)

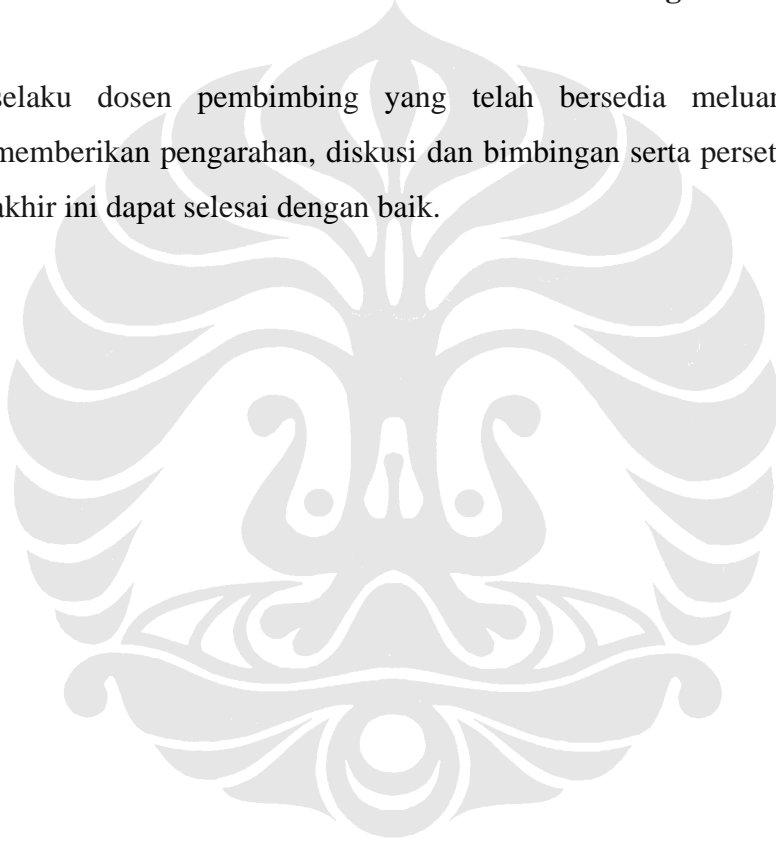
NIP. 132 048 279

UCAPAN TERIMA KASIH

Penulis mengucapkan terima kasih kepada:

Dr.Ir. Harinaldi M.Eng

selaku dosen pembimbing yang telah bersedia meluangkan waktu untuk memberikan pengarahan, diskusi dan bimbingan serta persetujuan sehingga tugas akhir ini dapat selesai dengan baik.



DAFTAR ISI

	Halaman
PERNYATAAN KEASLIAN TUGAS AKHIR	ii
PENGESAHAN	iii
UCAPAN TERIMA KASIH	iv
ABSTRAK	v
ABSTRACT	vi
DAFTAR ISI	vii
DAFTAR GAMBAR	ix
DAFTAR TABEL	xiv
DAFTAR LAMPIRAN	xv
DAFTAR NOTASI	xvi
BAB I PENDAHULUAN	1
1.1 LATAR BELAKANG	1
1.2 TUJUAN PENULISAN	2
1.3 BATASAN MASALAH	3
1.4 METODOLOGI PENELITIAN	3
1.5 SISTEMATIKA PENULISAN	4
BAB II DASAR TEORI	5
2.1 KLASIFIKASI ALIRAN FLUIDA	5
2.2 ALIRAN BEROTASI DAN TAK BEROTASI	6
2.3 KARAKTERISTIK ALIRAN 2 DIMENSI TAK BEROTASI PADA HELE SHAW	9
2.4 CONTOH LAIN PENELITIAN ALIRAN HELE SHAW	12
BAB III DESKRIPSI ALAT DAN PROSEDUR PENELITIAN	17
3.1 DESKRIPSI ALAT	17
3.2 PERALATAN PENGUJIAN	18
3.2.1 Komponen Utama	18
3.2.2 Komponen Pelengkap	20

3.3	SKEMA PENGUJIAN	20
3.4	PROSEDUR PENGUJIAN	21
3.5	METODE PENELITIAN	22
BAB IV HASIL DAN PEMBAHASAN		23
4.1	DATA KARAKTERISASI HEATER	23
4.2	ANALISA VISUALISASI ALIRAN TIAP-TIAP FLUIDA	24
4.2.1	Visualisasi Pada Medan Gradien Temperatur Negatif	25
4.2.2	Visualisasi Pada Medan Gradien Temperatur Positif.....	33
4.3	ANALISA VISUALISASI ALIRAN ANTAR FLUIDA	41
4.3.1	Visualisasi Pada Medan Gradien Temperatur Negatif	41
4.3.2	Visualisasi Pada Medan Gradien Temperatur Positif.....	44
4.4	HASIL PERHITUNGAN DAN GRAFIK PERKEMBANGAN	
	ALIRAN	45
4.4.1	Perhitungan Pada Medan Gradien Temperatur Negatif.....	45
4.4.2	Perhitungan Pada Medan Gradien Temperatur Positif.....	53
4.5	PEMBAHASAN	58
4.5.1	Aliran Pada Medan Gradien Temperatur Negatif ($dT/dx \leq 0$)	58
4.5.2	Aliran Pada Medan Gradien Temperatur Positif ($dT/dx \geq 0$).....	60
BAB V KESIMPULAN		63
DAFTAR ACUAN		64
DAFTAR PUSTAKA		65
LAMPIRAN		66

DAFTAR GAMBAR

	Halaman
Gambar 2.1 Gerakan dan deformasi <i>angular</i> dari suatu elemen fluida.	7
Gambar 2.2 Aliran fluida pada dua plat sejajar	9
Gambar 2.3 Definisi-definisi dari gelombang	11
Gambar 2.4 Diagram skematik dari tangki air	12
Gambar 2.5 Kerusakan amplitudo sebagai pertambahan x dalam frekuensi yang berbeda	13
Gambar 2.6 Pergeseran fasa sebagai perubahan posisi dalam frekuensi yang berbeda.	14
Gambar 2.7 Angka gelombang diukur di dalam <i>Hele Shaw Cell</i> dan perbandingannya dengan teori dan pengukuran di luar cell.	15
Gambar 2.8 Pengukuran laju kerusakan dari gelombang di dalam <i>Hele Shaw Cell</i> dan perbandingannya dengan prediksi dengan hasil yang diprediksikan dari suatu model <i>quasi-steady</i> .	15
Gambar 3.1 <i>Hele Shaw Apparatus</i>	17
Gambar 3.2 Skema pengujian	20
Gambar 4.1 <i>Range</i> rata-rata pada temperatur $60^{\circ}C$	24
Gambar 4.2 Pola aliran <i>glycerin</i> dengan dT/dx yang berbeda, α dan b sama, $t = 30$ detik.	25
Gambar 4.3 Contoh grafik pola aliran <i>glycerin</i> dengan dT/dx yang berbeda.	25
Gambar 4.4 Pola aliran <i>glycerin</i> dengan dT/dx dan α yang sama, b yang berbeda.	26
Gambar 4.5 Contoh grafik pola aliran <i>glycerin</i> dengan b yang berbeda	26

Gambar 4.6	Pola <i>glycerin</i> dengan kemiringan sudut yang berbeda, pada t dan b yang sama.	27
Gambar 4.7	Contoh grafik pola aliran <i>glycerin</i> dengan α yang berbeda.	27
Gambar 4.8	Pola aliran <i>castor oil</i> dengan dT/dx yang berbeda, α dan b sama, $t = 50$ detik.	28
Gambar 4.9	Contoh grafik pola aliran <i>castor oil</i> dengan dT/dx yang berbeda.	28
Gambar 4.10	Aliran <i>castor oil</i> pada dT/dx dan α yang sama	29
Gambar 4.11	Contoh grafik pola aliran <i>glycerin</i> dengan b yang berbeda.	29
Gambar 4.12	Pola aliran <i>castor oil</i> pada kemiringan sudut yang berbeda, b dan dT/dx yang sama.	30
Gambar 4.13	Contoh grafik pola aliran <i>glycerin</i> dengan α yang berbeda	30
Gambar 4.14	Aliran <i>SAE 30</i> pada $b = 1.2$ mm, $\alpha = 15$ derajat	31
Gambar 4.15	Contoh grafik pola aliran <i>glycerin</i> dengan dT/dx yang berbeda.	31
Gambar 4.16	Pola aliran <i>SAE 30</i> pada $\alpha = 15$ derajat, $dT/dx = 10$ °C/cm.	31
Gambar 4.17	Contoh grafik pola aliran <i>glycerin</i> dengan b yang berbeda.	32
Gambar 4.18	Ketidakstabilan aliran <i>SAE 30</i> pada $t = 15$ detik, $b = 0.8$ mm.	32
Gambar 4.19	Contoh grafik pola aliran <i>glycerin</i> dengan α yang berbeda.	33
Gambar 4.20	Perkembangan aliran <i>Glycerin</i> gradien positif pada $b = 0.8$ mm, $\alpha = 15$ derajat, $t = 50$ detik.	33
Gambar 4.21	Grafik pola aliran <i>Glycerin</i> gradien positif dengan dT/dx yang berbeda.	34
Gambar 4.22	Aliran <i>Glycerin</i> gradien positif pada $\alpha = 15$ derajat, $t = 30$ detik	34

Gambar 4.23	Grafik pola aliran <i>Glycerin</i> gradien positif dengan b yang berbeda.	35
Gambar 4.24	Aliran <i>glycerin</i> gradien positif dengan $b = 0.8$ mm, $t = 30$ detik.	35
Gambar 4.25	Grafik pola aliran <i>glycerin</i> gradien positif dengan α yang berbeda.	36
Gambar 4.26	Ketidakstabilan aliran <i>Castor oil</i> gradien positif pada $b = 0.8$ mm, $\alpha = 15$ derajat, $t = 30$ detik.	36
Gambar 4.27	Grafik pola aliran <i>castor oil</i> gradien positif dengan dT/dx yang berbeda.	37
Gambar 4.28	Ketidakstabilan fluida <i>castor oil</i> gradien positif dengan $\alpha = 15$ derajat, $t = 50$ detik.	37
Gambar 4.29	Grafik pola aliran <i>castor oil</i> gradien positif dengan b yang berbeda.	37
Gambar 4.30	Ketidakstabilan aliran <i>castor oil</i> gradien positif pada α berbeda dan $b = 0.8$ mm.	38
Gambar 4.31	Grafik pola aliran <i>castor oil</i> gradien positif dengan α yang berbeda.	38
Gambar 4.32	Aliran <i>SAE 30</i> gradien positif pada α dan b tetap, dengan dT/dx berbeda.	39
Gambar 4.33	Grafik pola aliran <i>SAE 30</i> gradien positif dengan dT/dx berbeda.	39
Gambar 4.34	Ketidakstabilan aliran gradien positif dengan b yang berbeda.	40
Gambar 4.35	Grafik pola aliran <i>SAE 30</i> gradien positif dengan b yang berbeda.	40
Gambar 4.36	Ketidakstabilan aliran <i>SAE 30</i> gradien positif dengan α yang berbeda.	41
Gambar 4.37	Grafik pola aliran <i>SAE 30</i> gradien positif dengan α yang berbeda.	41
Gambar 4.38	Perbandingan ketidakstabilan aliran dengan $\alpha = 15$ derajat, $b = 0.8$ mm, $t = 30$ detik.	42

Gambar 4.39	Ketidakstabilan aliran fluida viskos dengan $\alpha = 45$ derajat, $b = 1.2$ mm, $t = 10$ detik.	42
Gambar 4.40	Ketidakstabilan aliran fluida viskos dengan $\alpha = 75$ derajat, $b = 1.5$ mm, $t = 10$ detik.	43
Gambar 4.41	Grafik perbandingan pola aliran antar fluida Pada kondisi $\alpha = 75$ derajat, $b = 1.5$ mm, $t = 10$ detik.	43
Gambar 4.42	Perbandingan ketidakstabilan aliran medan gradien temperatur positif dengan $\alpha = 15$ derajat, $b = 0.8$ mm, $t = 50$ detik.	44
Gambar 4.43	Ketidakstabilan aliran fluida viskos medan gradien Temperatur positif dengan $\alpha = 45$ derajat, $b = 1.2$ mm, $t = 15$ detik.	44
Gambar 4.44	Grafik perbandingan pola aliran antar fluida medan gradien temperatur positif pada kondisi $\alpha = 45$ derajat, $b = 1.2$ mm $t = 10$ detik.	45
Gambar 4.45	Hubungan skala panjang dan skala waktu aliran <i>glycerin</i> .	47
Gambar 4.46	Hubungan skala panjang dan skala waktu aliran <i>glycerin</i> pada variasi lebar celah (b).	48
Gambar 4.47	Hubungan skala panjang dan skala waktu aliran <i>glycerin</i> pada variasi kemiringan sudut (α).	48
Gambar 4.48	Hubungan skala panjang dan skala waktu aliran <i>castor oil</i> .	50
Gambar 4.49	Hubungan skala panjang dan skala waktu aliran <i>castor oil</i> pada variasi lebar celah (b).	50
Gambar 4.50	Hubungan skala panjang dan skala waktu aliran <i>castor oil</i> pada variasi kemiringan sudut (α).	50
Gambar 4.51	Hubungan skala panjang dan skala waktu <i>SAE 30</i>	52
Gambar 4.52	Hubungan skala panjang dan skala waktu aliran <i>SAE 30</i> pada variasi lebar celah (b).	52
Gambar 4.53	Hubungan skala panjang dan skala waktu aliran <i>SAE 30</i> pada variasi kemiringan sudut.	52

Gambar 4.54	Hubungan skala panjang dan skala waktu aliran <i>glycerin</i> pada medan gradien temperatur positif.	53
Gambar 4.55	Hubungan skala panjang dan skala waktu aliran <i>glycerin</i> pada variasi lebar celah dengan medan gradien temperatur positif.	54
Gambar 4.56	Hubungan skala panjang dan skala waktu aliran <i>glycerin</i> pada variasi kemiringan sudut dengan medan gradien temperatur positif.	54
Gambar 4.57	Hubungan skala panjang dan skala waktu aliran <i>Castor oil</i> pada medan gradien temperatur positif.	55
Gambar 4.58	Hubungan skala panjang dan skala waktu aliran <i>Castor oil</i> pada variasi lebar celah dengan medan gradien temperatur positif.	55
Gambar 4.59	Hubungan skala panjang dan skala waktu aliran <i>Castor oil</i> pada variasi kemiringan sudut dengan medan gradien temperatur positif.	56
Gambar 4.60	Hubungan skala panjang dan skala waktu aliran <i>SAE 30</i> pada gradien temperatur positif.	57
Gambar 4.61	Hubungan skala panjang dan skala waktu aliran <i>SAE 30</i> pada variasi lebar celah dengan medan gradien temperatur positif.	57
Gambar 4.62	Hubungan skala panjang dan skala waktu aliran <i>SAE 30</i> pada variasi kemiringan sudut dengan Medan gradien temperatur positif.	57
Gambar 4.63	Hubungan skala panjang dan skala waktu pada b , α dan dengan kondisi $dT/dx \leq 0$ yang sama.	59
Gambar 4.64	Hubungan skala panjang dan skala waktu pada b , α dan dengan kondisi $dT/dx \geq 0$ yang sama.	61

DAFTAR TABEL

	Halaman
Tabel 4.1 Data perubahan bentuk <i>Glycerin</i> pada $dt/dx = -10\text{ }^{\circ}\text{C/cm}$, $\alpha = 15$ derajat, $b = 0.8\text{mm}$.	47
Tabel 4.2 Data perubahan bentuk <i>Castor oil</i> pada $dt/dx = -10\text{ }^{\circ}\text{C/cm}$, $\alpha = 15$ derajat, $b = 0.8\text{mm}$.	49
Tabel 4.3 Data perubahan bentuk <i>SAE 30</i> pada $dt/dx = -10\text{ }^{\circ}\text{C/cm}$, $\alpha = 15$ derajat, $b = 0.8\text{mm}$	51
Tabel 4.4 Data perubahan bentuk <i>Glycerin</i> pada $dt/dx = 10\text{ }^{\circ}\text{C/cm}$, $\alpha = 15$ derajat, $b = 0.8\text{mm}$	53
Tabel 4.5 Data perubahan bentuk <i>Castor oil</i> pada $dt/dx = 10\text{ }^{\circ}\text{C/cm}$, $\alpha = 15$ derajat, $b = 0.8\text{mm}$	55
Tabel 4.6 Data perubahan bentuk <i>SAE 30</i> pada $dt/dx = 10\text{ }^{\circ}\text{C/cm}$, $\alpha = 15$ derajat, $b = 0.8\text{mm}$	56

DAFTAR LAMPIRAN

	Halaman
Lampiran 1 Tabel sifat-sifat fluida	67
Lampiran 2 Foto-foto aliran fluida	69
Lampiran 3 Tabel data perubahan bentuk tiap satuan waktu $dT/dx \leq 0$	106
Lampiran 4 Tabel data perubahan bentuk tiap satuan waktu $dT/dx \geq 0$	115
Lampiran 5 Grafik hubungan antara skala panjang dan skala waktu $dT/dx \leq 0$	123
Lampiran 6 Grafik hubungan antara skala panjang dan skala waktu $dT/dx \geq 0$	127

DAFTAR NOTASI

Simbol	Arti	Satuan
ρ	massa jenis fluida	kg/m ³
μ	viskositas dinamik	N.s/m ² = Pa.S
σ	tegangan permukaan	N/m
t	waktu	detik
l^*	skala panjang	m
t^*	skala waktu	detik
g	gravitasi	m/s ²
$b=h$	jarak celah	mm
α	sudut kemiringan plat	⁰ (derajat)
θ^*	tinggi gelombang maksimal	cm
W	panjang gelombang	cm
y	tinggi gelombang	cm
Σl_i	panjang gelombang (udara)	cm
ω	kecepatan sudut	rad/s
∂u	perubahan kecepatan pada sumbu $-x$	m/s
∂v	perubahan kecepatan pada sumbu $-y$	m/s
∂w	perubahan kecepatan pada sumbu $-z$	m/s
$\partial x, \partial y, \partial z$	perubahan jarak sumbu $-x, -y,$ dan $-z$	m
φ	potensial kecepatan	
$\frac{\partial p}{\partial x}$	perubahan gradient tekanan	N/m ²